

Tableau I

Echantillon	Force de rupture (Newtons)	longueur de fissure à la rupture ( $\mu\text{m}$ )	déflexion à la rupture ( $\mu\text{m}$ )
1	50	150	30
2	46	200	28,5
3	43	250	27,6
4	39	300	26,1

## EPREUVE DE METALLURGIE

## I - Mécanique de la rupture

On veut connaître le facteur d'intensité de contrainte  $K_{Ic}$  d'une céramique thermomécanique à comportement fragile. Pour des raisons de fabrication, il n'est pas possible d'utiliser des éprouvettes normalisées. On se servira donc de la méthode de la compliance.

On utilisera des éprouvettes de flexion fissurées en mode I selon le schéma de la figure 1. On supposera que la rupture se produit en état de déformation plane.

1/ Définir le taux de la libération d'énergie potentielle de fissuration  $G_I$ ,

2/ La méthode de la compliance nécessite des éprouvettes ayant des longueurs de fissure variables. Quel que soit la longueur de la fissure, les essais entrepris conduisent à des courbes force-déplacement schématisées par la figure 2. Les résultats sont résumés dans le tableau I.

- a) Définir la compliance, calculer la compliance de chaque éprouvette,
- b) Etablir la relation entre  $G_I$ , la force appliquée et la variation de la compliance avec l'accroissement de la fissure,
- c) Calculer  $G_{Ic}$  pour ce matériau. En déduire la valeur de  $K_{Ic}$ .

## II - Analyse d'image

1/ Définir la transformation par érosion.

2/ Comment calcule-t-on les nombres de connexité  $N_0(X)$ ,  $N_1(X)$  et  $N_2(X)$  sur un analyseur d'image à maille carrée?

3/ Quels sont les paramètres stéréologiques accessibles avec ces nombres de connexité? Donner les relations correspondantes.

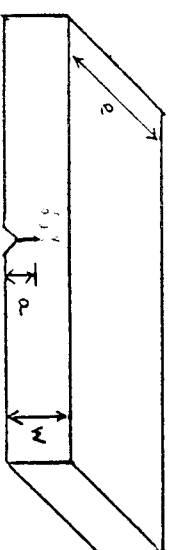


Fig 1

$$w = 5 \text{ mm}, \quad e = 10 \text{ mm}$$



Fig 1

Fig 2  
deflexion.

## I Mécanique de la rupture

- a) Le taux de libération d'énergie potentielle  $G_2$  est le rapport de la variation d'énergie potentielle, à l'augmentation de la surface de la fissure lors de cette libération de  $dE_p$ .  
 C'est en fait l'énergie dédiée par l'accroissement de la surface de la fissure.

$$\rightarrow \boxed{G_2 = -\frac{dE_p}{dA}}$$

- b) a) Lorsqu'un matériau n'est pas fluide, sa courbe de traction présente dans le domaine élastique une pente, conformément à la loi de Hooke :  $\sigma = E\varepsilon$

Lorsque le matériau est fissuré, la pente s'accuse car il est à résistant. On définit alors la pente de la courbe de traction :

$$\boxed{\frac{\Delta F}{\Delta l} = \frac{1}{C(a)}} \quad (\text{sl : } \delta)$$

où  $C(a)$  est la compliance.

	1	2	3	4
$C(a)$	0,6	0,619	0,662	0,672

b)

$$\text{Or, si } E_p = \frac{1}{2} F \Delta l \quad \text{et} \quad dA = e \Delta a$$

$$\rightarrow G_2 = -\frac{1}{2e} \frac{dF}{da} \Delta l$$

$$= -\frac{\Delta l}{2e} \cdot \frac{\Delta l}{\Delta a} \frac{d}{da} \left( \frac{1}{C(a)} \right)$$

$$\rightarrow G_I = - \frac{\Delta l^2}{2e} \left( -\frac{1}{C(a)} \right) \frac{dC(a)}{da}$$

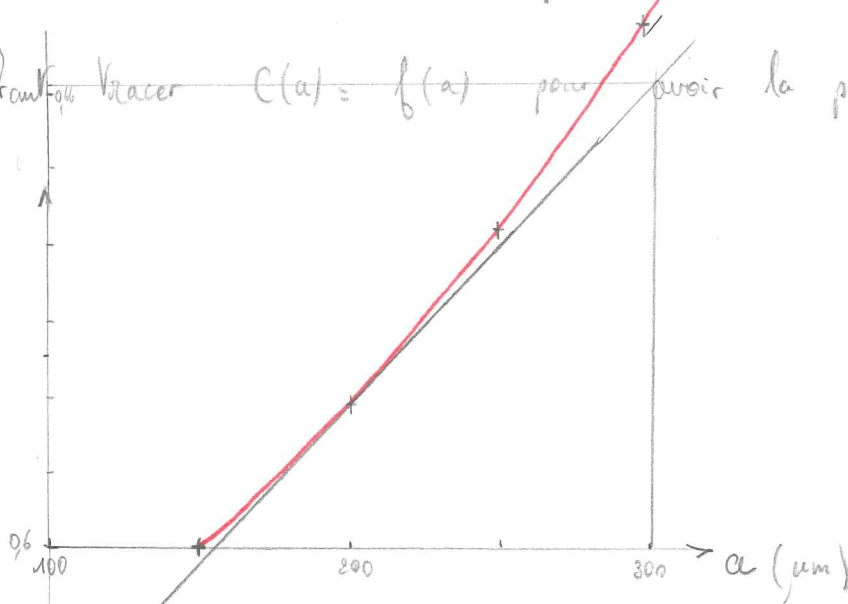
$$\rightarrow G_I = \frac{1}{2e} \left( \frac{\Delta l}{C(a)} \right)^2 \frac{dC(a)}{da}$$

$$\boxed{G_I = \frac{F^2}{2e} \frac{dC(a)}{da}}$$

c)

$$\rightarrow \boxed{G_{IC} = \frac{F_R^2}{2e} \frac{dC(a)}{da}} \quad ($$

il faut tracer  $C(a) = f(a)$  pour avoir la pente :



prendre la pente en  $a = 200 \mu m$  ( $C(a) = 0,619$ )

$$\therefore \frac{dC(a)}{da} = \frac{0,661 - 0,576}{300 - 100} = 4,25 \cdot 10^{-4} \left( \frac{\mu m}{N} \right)$$

pour  $a = 200 \mu m$  :  $F_R = 46 N$

$$l = 10 \cdot 10^{-3} m$$

$$\rightarrow \boxed{G_{IC} = 44,965 N/m}$$

Nous sommes en présence d'éprouvette épaisse, donc :

$$G_{IC} = \left( \frac{1-V^2}{E} \right) K_{IC}^2 \Rightarrow$$

$$\boxed{K_{IC} = 5794 \frac{N}{m^{3/2}}}$$

$$\left( \frac{N}{m} \cdot \frac{N}{m^2} \right)^{1/2} = \frac{N}{m^{3/2}}$$

## II Analyse d'images

1°) par où : potentiel des objets :

2°)  $N_0(x) = \text{nb de pixels à } 1.$

$N_L(x) = \text{nb d'objets intersectés par } 1 \text{ droite}$

$N_0(A) = \text{nb sommets} + \text{nb arêtes} + \text{nb surfaces elem.}$   
 $\downarrow$   
 (comptage)

3°)  $N_0(x) = P_P(x) \cdot \text{nb total de pixels}$

$$\text{et } P_P(x) = L_L(x) = A_A(x) = V_V(x)$$

$N_L(x) = N_L(A) \cdot \text{unité de longueur}$  et  $S_V(x) = 4 \cdot N_L(x)$

$$\text{et } L_A(x) = \pi \cdot N_L(x)$$

$$2\pi N_L(x) = M_3(x) \quad \text{et} \quad M_3(x) = \frac{M_3(x)}{\text{nb total}} \quad \text{et} \quad M_3(x) = M_A(x)$$

$$\rightarrow N_0(x) \xrightarrow{\text{nb total}} P_P(x) \rightarrow L_L(x) ; A_A(x) ; V_V(x) \\ \downarrow \text{nb total} \quad \downarrow \text{nb total} \quad \downarrow \text{nb total} \\ L_A(x) \quad A_A(x) \quad V_V(x)$$

$$N_L(x) \xrightarrow{\text{nb total}} N_L(x) \rightarrow S_V(x) ; L_A(x) \\ \downarrow \text{nb total} \quad \downarrow \text{nb total} \\ S(x) \quad L_A(x)$$

$$N_L(x) \xrightarrow{\text{nb total}} M_3(x) \xrightarrow{\text{nb total}} M_V(x) \rightarrow M_A(x) \\ \downarrow \text{nb total} \\ M_A(x)$$